

азот, образуются нитриды с ГЦК-структурой; 2), $p_{N_2} \ll p_{H_2}$, реакцию горения ведет водород, образуя гидриды, а составы, богатые гидридом ванадия, вообще не реагируют; 3) $1 \leq p_{N_2}/p_{H_2} \leq 2$, создаются условия для прохождения одновременно нескольких реакций, характерных для этой системы. В последнем случае составы, богатые Ti, образуют в основном нитриды и гидридонитриды с ГПУ- и ГЦК-структурами, однако содержание H в них не превышает 0,5—1 %.

Исходя из экспериментальных данных, можно заключить, что при горении смеси титана и гидрида ванадия в атмосфере азота при $p_{N_2} = 10$ атм в основном образуются ГЦК-нитридные фазы: однофазные — в образцах, богатых титаном либо ванадием, и двухфазные TiN + VN в промежуточных составах. Эти же составы при $p_{N_2} = 70 \div 80$ атм образуют: а) однофазные твердые растворы азота в титане и ванадии (при ~80 % Ti), которые, взаимодействуя с водородом, превращаются в сложные однофазные гидридонитриды титана и ванадия с ГПУ-структурой, богатые водородом (со следами TiN); б) сложные ненасыщенные нитриды (в $Ti_{0,7}(VH_y)_{0,3}$, $Ti_{0,6}(VH_y)_{0,4}$), которые при воспламенении в водороде образуют ГЦК-гидридонитриды (со следами $TiN_{tb.p.}$).

Анализ результатов настоящих исследований показал, что введение V в шихту приводит к повышению абсорбционных свойств ГПУ-фазы твердого раствора азота в титане, а также к формированию ГЦК гидридонитридной фазы. Кроме того, наличие V расширяет область гомогенности ГЦК нитридной фазы.

ЛИТЕРАТУРА

1. Долуханян С. К., Алексанян А. Г., Сейранян Г. Б. и др. Докл. АН СССР, 1984, 276, 1, 136.
2. Горение пористых образцов металлов в газообразном азоте и синтез нитридов. Отчет ОИХФ АН СССР, Черноголовка, 1971.
3. Долуханян С.К., Налбандян А. Б., Сейранян Г. Б. и др. А. с. 1057411. Бюл. № 44, 1983.
4. Долуханян С. К., Алексанян А. Г., Налбандян А. Б. и др. ФГВ, 1985, 21, 3, 73.

г. Ереван

Поступила в редакцию 17/VIII 1989,
после доработки — 1/II 1990

УДК 541.122 : 546 : 547

Н. И. АГАДЖАНЯН, С. К. ДОЛУХАНЯН

ИССЛЕДОВАНИЕ ПРОЦЕССА ГОРЕНИЯ В СИСТЕМЕ Zr + Nb + N + H. СИНТЕЗ СЛОЖНЫХ ГИДРИДОНИТРИДОВ

Исследования горения в многокомпонентных системах, например в $Zr + Nb + N + H$, представляют большой научный и практический интерес: во-первых, это горение системы с параллельно протекающими химическими реакциями, которыми можно управлять, зная закономерности горения; во-вторых, это синтетическая задача, приводящая к получению сложных тройных и четверных соединений. В работе [1] изучено горение системы $Zr + C + H$, где показано, что в зависимости от состава исходной шихты и параметров процесса может быть реализовано множество путей протекания химических реакций с образованием тех или иных продуктов. В [2] при изучении горения циркония в смеси N + H

установлена возможность конкуренции двух реагирующих газов в зависимости от параметров процесса.

Цель настоящей работы — исследование закономерностей горения системы $Zr + Nb + N + \Pi$ и синтез сложных гидридонитридов. Эксперименты проводили по известной методике [3], широко варьируя соотношения металлов $xZr + (1-x)Nb$, где $0,1 \leq x \leq 0,9$ (ат. доли). Исходные образцы указанных составов сначали сжигали в атмосфере азота ($p_{N_2} = 5 \div 80$ атм), а потом эти же образцы — в атмосфере водорода ($p_{H_2} = 10, 20$ атм). Относительная плотность образцов $\Delta = 0,65 \div 0,75$. Использовали порошок Zr — ПЦРК-1, содержание основного вещества 99,80 % (по массе), дисперсность <50 мкм; Nb электронной техники, содержание основного вещества — 99,90 %, дисперсность <100 мкм; H_2 — электролизной чистоты, N_2 — газообразный чистый.

В табл. 1 представлены данные химического и фазового состава продуктов горения смеси порошков циркония и ниобия в азоте. Анализируя табличные данные, можно отметить, что для составов $0,9Zr + 0,1Nb$ с ростом p содержание связанного азота понижается, соответственно изменяется соотношение образующихся фаз. В отличие от горения циркония в азоте [4], где с ростом давления ($p_{N_2} = 60 \div 70$ атм) фаза $ZrN(\Gamma\text{ЦК})$ исчезает и продуктом горения является твердый раствор азота в цирконии, в нашем случае присутствие даже небольшого количества ниобия (0,1 ат. долей) значительно меняет картину, нарушая традиционную зависимость фазового состава от p_{N_2} . С понижением давления газа фаза твердого раствора азота в цирконии растет, а фаза $ZrN(\Gamma\text{ЦК})$, наоборот, уменьшается, хотя содержание связанного азота возрастает, что довольно аномально для подобных систем.

Для состава $0,7Zr + 0,3Nb$ конечный продукт горения в основном — ZrN . При высоких p наряду с ZrN получаются твердые растворы азота в ниобии, а при понижении p наряду с указанными выше фазами образуются также твердые растворы азота в цирконии и ГЦК нитрид ниобия. Содержание связанного N_2 увеличивается с понижением давления азота.

При горении шихты состава $0,6Zr + 0,4Nb$ в атмосфере азота основная фаза — ZrN . Наряду с ней отмечаются твердые растворы азота в цирконии и в ниобии, а также ГЦК NbN . С понижением давления увеличивается содержание N_2 в конечных продуктах. Дальнейшее повышение содержания Nb приводит к изменению соотношения образующихся фаз, при этом уже нет твердого раствора азота в цирконии.

На рис. 1 представлены зависимости температур T_r и скоростей U_r горения от соотношения металлов Zr/Nb при $p_{N_2} = 80$ атм. Значение T_r с увеличением доли Nb вначале понижается, по-видимому, за счет разбавления, затем возрастает, что объясняется вкладом Nb в T_r , при этом U_r плавно понижается.

Содержание N_2 в конечных продуктах шихты $0,9Zr + 0,1Nb$ с ростом p_{N_2} (рис. 2) понижается аналогично горению Me в N_2 . При $p_{N_2} = 70 \div 80$ атм $T_r = 2000^\circ\text{C}$, что превышает температуру плавления циркония ($T_{\text{пл}} \approx 1800^\circ\text{C}$). Образовавшийся на поверхности слой расплавленного металла резко снижает пористость образца и затрудняет дальнейшую фильтрацию азота через боковую поверхность. Поэтому концентрация азота в конечном продукте с ростом давления уменьшается. При низких давлениях $T_r < T_{\text{пл}}$. Образец остается пористым и газопроницаемым, вследствие чего полученные материалы в процессе догонания насыщаются азотом.

При горении предварительно сожженных в азоте (см. табл. 1) образцов в водороде оказалось, что содержание связанного азота понижается и конечные продукты содержат значительное количество водорода (рис. 3). Судя по данным рентгенофазового анализа, исходные составы, содержащие фазу твердого раствора азота в цирконии, после взаимо-

Таблица 1

Шихта	Синтез в азоте			Синтез в водороде при $p_{H_2} = 10$ атм		
	p_{N_2} , атм	N_2 , %	Фаза	N_2 , %	H_2 , %	Фаза
$0,9 Zr + 0,1 Nb$	20	8,12	Zr * + ZrN	6,55	1,05	ГПУ + ZrN
	30	7,34	Zr * + ZrN	5,50	1,17	ГПУ + ZrN
	50	6,06	Zr * + ZrN	4,11	1,32	ГПУ + ZrN
	80	5,25	Zr * + ZrN	3,62	1,22	ГПУ + ZrN
$0,7 Zr + 0,3 Nb$	10	8,05	ZrN + Zr * + NbN + Nb *	6,24	0,45	ZrN + ГПУ + NbH
	20	7,42	ZrN + Zr * + NbN + Nb *	6,01	1,46	ГПУ + ZrN + NbH
	50	7,29	ZrN + Zr * + NbN + Nb *	5,22	1,01	ГПУ + ZrN
	70	6,25	ZrN + Nb * + Zr * + NbN	4,55	1,02	ZrN + NbN
	80	6,10	ZrN + Nb *	4,40	1,08	$Zr_{0,7}Nb_{0,3}N_{0,33}H_{1,06}$ (ГЦК)
$0,6 Zr + 0,4 Nb$	10	8,76	ZrN + NbN + Zr *	5,76	0,41	ZrN + NbN + Nb * + NbH
	20	7,64	ZrN + Zr * + NbN + Nb *	5,50	0,65	ZrN + NbN + Zr * + Nb *
	50	7,44	ZrN + Nb * + NbN + Zr *	5,05	1,28	ZrN + NbN + Zr *
	60	7,13	ZrN + Nb * + NbN + Zr *	4,96	1,26	ZrN + NbN + Zr *
	70	6,65	ZrN + Nb * + NbN + Zr *	4,68	1,02	$Zr_{0,6}Nb_{0,4}N_{0,35}H_{1,03}$ (ГЦК)
	80	6,62	ZrN + Nb * + NbN	4,38	1,08	$Zr_{0,6}Nb_{0,4}N_{0,33}H_{1,05}$ (ГЦК)
$0,5 Zr + 0,5 Nb$	50	6,80	ZrN + NbN + Nb *	4,52	0,76	ZrN + NbH
	80	6,72	ZrN + Nb * + NbN	4,40	0,99	$Zr_{0,5}Nb_{0,5}N_{0,34}H_{1,00}$ (ГЦК)
$0,4 Zr + 0,6 Nb$	50	7,38	ZrN + Nb * + NbN	4,33	0,85	ZrN + NbH
	80	7,20	ZrN + Nb * + NbN	4,20	0,88	ZrN + NbH
$0,3 Zr + 0,7 Nb$	50	7,85	NbN + Nb * + ZrN	4,81	0,63	NbH + ZrN
	80	6,80	Nb * + ZrN + NbN	4,31	0,79	NbH + ZrN

* Твердый раствор азота в металле.

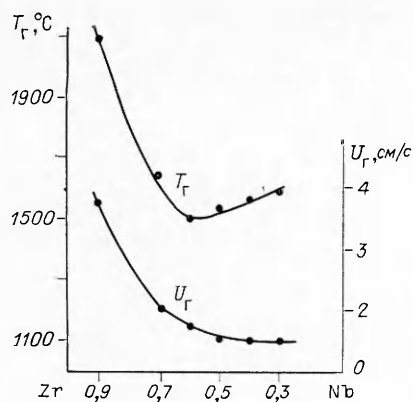


Рис. 1. Зависимости T_r (Zr/Nb) и U_r (Zr/Nb).

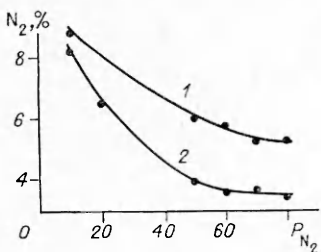


Рис. 2. Зависимость содержания азота от давления газа при горении в азоте (1) и при последующем горении этих же образцов в водороде (2) для шихты состава $0,9\text{Zr} + 0,1\text{Nb}$.

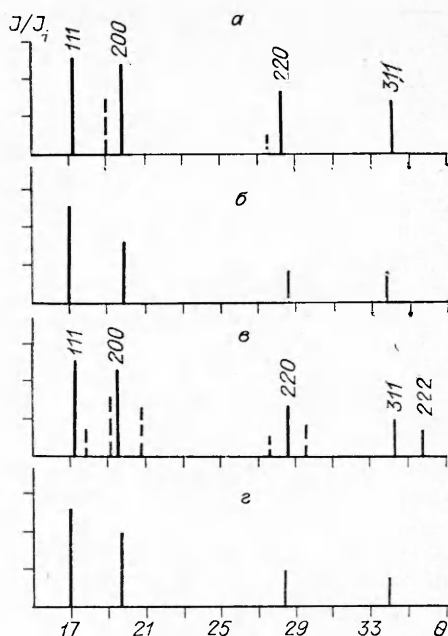


Рис. 4. Штрих-диаграммы сложных нитридов (а, в), полученных при $P_{N_2} = 80$ атм и гидридонитридов (б, г), полученных при их последующем горении в атмосфере водорода ($P_{H_2} = 10$ атм). Фазовый состав: а) $\text{ZrN} + \text{Nb}$ (тв. р.), б) $\text{Zr}_{0,7}\text{Nb}_{0,3}\text{N}_{0,33}\text{H}_{1,06}$, $a = 4,573 \text{\AA}$, в) $\text{Zr}_{0,5}\text{Nb}_{0,5}\text{N}_{0,34}\text{H}_{1,00}$, $a = 4,561 \text{\AA}$.

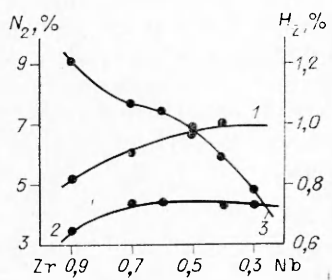


Рис. 3. Зависимость содержания N_2 от соотношений металлов Zr/Nb ($P_{N_2} = 80$ атм) при горении в азоте (1) и последующем горении в водороде (2).
3 — зависимость содержания водорода от соотношения Zr/Nb .

действия с H_2 образуют гидридонитридную фазу с гексагональной плотноупакованной решеткой (ГПУ), при этом доли фаз ZrN и твердого раствора азота в ниобии в конечных продуктах уменьшаются.

В образцах $0,7\text{Zr} + 0,3\text{Nb}$, $0,6\text{Zr} + 0,4\text{Nb}$ и $0,5\text{Zr} + 0,5\text{Nb}$, предварительно полученных при $P_{N_2} = 70 \div 80$ атм, после горения в атмосфере H_2 происходит полная гомогенизация, благодаря чему многофазный образец превращается в однофазный сложный гидридонитрид с гранецентрированной кубической решеткой (ГЦК). Надо отметить, что в работе [2] получены гидридонитриды с гексагональной плотноупакованной решеткой (ГПУ). Гидридонитрид ГЦК-фазы, содержащий значительное количество водорода, не обнаружен. Введение Nb в шихту привело к образованию сложного гидридонитрида с ГЦК-решеткой, довольно богатого водородом. На рис. 4 представлены штрих-диаграммы образцов до и после горения в атмосфере водорода.

Параметр a ГЦК сложного гидридонитрида по сравнению с параметром ZrN увеличивается, а с параметром NbN уменьшается. Параметры ГПУ сложного гидридонитрида по сравнению с исходным изоморфным

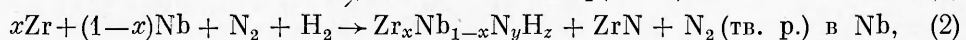
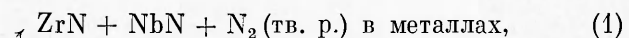
Таблица 2

Шихта	P_{N_2}/P_{H_2} , атм	N_2 , %	H_2 , %	Фаза
0,9 Zr + 0,1 Nb	20/10	3,22	0,2	Zr * + ZrN
0,9 Zr + 0,1 Nb	30/10	3,01	1,22	ГПУ + ZrN
0,7 Zr + 0,3 Nb	20/10	4,46	0,3	Zr * + ZrN + NbN
0,7 Zr + 0,3 Nb	30/10	4,20	1,18	ГПУ + ZrN + Nb *
0,6 Zr + 0,4 Nb	30/10	2,39	1,38	ГПУ + ZrN + Nb *
0,5 Zr + 0,5 Nb	30/10	3,4	1,02	ГПУ + ZrN
0,4 Zr + 0,6 Nb	30/10	5,22	0,40	ZrN + NbN + Nb *
0,3 Zr + 0,7 Nb	30/10	6,48	0,41	ZrN + NbN + Nb *

* Твердый раствор.

образцом также изменяются — величина C растет, а a уменьшается аналогично гидридонитриду циркония.

В заключение приведем результаты серии экспериментов по горению всех составов, приведенные в табл. 1, сразу в смеси двух реагирующих газов (азот — водород). В табл. 2 приведены некоторые из этих данных. Как и в [2], реакция горения в смеси двух реагирующих газов протекает в зависимости от соотношений парциальных давлений в трех различных направлениях:



Только в отличие от [2] здесь на ход реакции кроме парциальных давлений p_{N_2}/p_{H_2} , естественно, влияет также соотношение Zr/Nb. В реакции (2), в которой за образование ГПУ гидридонитридной фазы ответствен цирконий, с уменьшением количества циркония образование ГПУ-фазы становится все меньше и наконец исчезает при $x < 0,5$ ат. долей.

Надо отметить, что при проведении процесса горения в две технологические стадии введения ниобия в шихту приводит к стабилизации именно ГЦК гидридонитридной фазы, а при синтезе в смеси газов ($x \geq 0,5$ ат. долей) получаются гидридонитриды с ГПУ-решеткой. Это важная характерная особенность этой системы.

ЛИТЕРАТУРА

- Мартиросян Н. А., Долуханян С. К., Мержанов А. Г. ФГВ, 1985, 21, 53.
- Долуханян С. К., Алексанян А. Г., Налбандян А. Б. и др. // Там же, с. 73.
- Мержанов А. Г., Боровинская И. П. Докл. АН СССР, 1972, 204, 2.
- Боровинская И. П., Лорян В. Э. Докл. АН СССР, 1976, 231, 4, 911.

г. Ереван

Поступила в редакцию 5/IX 1989,
после доработки — 1/II 1990

УДК 620.186 : 539.42

А. В. ЖУКОВ

ДИССИПАЦИЯ ЭНЕРГИИ В ВОЛНАХ НАПРЯЖЕНИЙ НА ФАЗОВЫХ ПЕРЕХОДАХ

В работе на основе численного моделирования удара пластины о жесткую стенку проведена оценка величины диссипации механической энергии в тепловую на полиморфных фазовых переходах $\alpha \leftrightarrow \varepsilon$ в же-

© 1990 Жуков А. В.

124